

Ismételt Richardson-extrapoláció

Szakdolgozat

Készítette: **Szandi Nándor Mihály**

Matematika BSc - matematikai elemző szakirány

Témavezető: **Dr. Havasi Ágnes**

egyetemi docens

Alkalmazott Analízis és Számításmatematikai Tanszék



Eötvös Loránd Tudományegyetem, Természettudományi Kar

2024

Köszönetnyilvánítás

Ezúton szeretném megköszönni témavezetőmnek, Dr. Havasi Ágnesnek a sok segítséget a témával kapcsolatban, hogy szakértelmével és hozzáértésével mindig készen állt arra, hogy segítse munkámat. Továbbá szeretném megköszönni családomnak és szeretteimnek a rengeteg támogatást, amit a munkám ideje alatt adtak, nélkülük nem sikerült volna.

Tartalomjegyzék

1. Bevezetés	4
2. A Richardson-extrapoláció módszere	5
2.1. A Richardson-extrapoláció elve	5
2.2. Alkalmazás közönséges differenciálegyenlet-rendszerre	6
3. Az ismételt Richardson-extrapoláció	9
3.1. IRE módszer h , $\frac{h}{2}$ és $\frac{h}{4}$ lépésközzel	9
3.2. IRE módszer h , $\frac{h}{2}$ és $\frac{h}{3}$ lépésközzel	10
3.3. IRE módszer h , $\frac{h}{2}$, $\frac{h}{3}$ és $\frac{h}{4}$ lépésközzel	11
4. Stabilitás rögzített rácson	14
4.1. Stabilitási fogalmak	14
4.2. Az ismételt Richardson-extrapolációval kapott módszerek stabilitása	15
4.3. Az IRE(124) módszerrel kombinált stabilitási tartományok	18
4.3.1. Az EE+IRE(124) módszer stabilitási tartománya	18
4.3.2. Az IE+IRE(124) módszer stabilitási tartománya	20
4.3.3. Az KP+IRE(124) módszer stabilitási tartománya	22
4.4. Az IRE(123) módszerrel kombinált stabilitási tartományok	24
4.4.1. Az EE+IRE(123) módszer stabilitási tartománya	24
4.4.2. Az IE+IRE(123) módszer stabilitási tartománya	26
4.4.3. Az KP+IRE(123) módszer stabilitási tartománya	28
4.5. Az IRE(1234) módszerrel kombinált stabilitási tartományok	30
4.5.1. Az EE+IRE(1234) módszer stabilitási tartománya	31
4.5.2. Az IE+IRE(1234) módszer stabilitási tartománya	32
4.5.3. Az KP+IRE(1234) módszer stabilitási tartománya	34
4.6. Numerikus kísérlet KP+IRE(124) és KP+IRE(123) módszerekre	36

1. Bevezetés

Az életben számos változás megy végbe mind a fizikai, mind a társadalmi folyamatokban. A matematikai modellek, amelyek ezeket leírják, leggyakrabban differenciálegyenleteken, illetve egyenletrendszeren alapulnak. Gyakran ezeknek a pontos megoldását lehetetlen előállítani, vagy nagy költséggel, sok idővel járna, így alternatív megoldásokat keresünk. Erre szolgálnak a numerikus módszerek, amelyekkel nagy pontossággal tudjuk közelíteni a kitűzött feladat megoldását.

Szakedolgozatom elején szó esik a Richardson-extrapoláció konvergenciagyorsító módszeréről, amely ezeknek a numerikus módszereknek a pontosságát javítja. Eredeti változatának a lényege, hogy kisebb (például feleakkora) lépésközzel is megoldjuk a feladatot, és a két numerikus megoldást kombináljuk. Így ezzel az eljárással eggyel magasabb rendben pontos megoldáshoz jutunk, mint az alapmódszerrel.

A harmadik fejezetben mutatjuk be a dolgozatom fő témáját, az ismételt Richardson-extrapolációt, amely a Richardson-extrapoláción alapul, de nem csak kettő, hanem több numerikus megoldást kombinálunk, minden egyes új numerikus megoldással eggyel növelve a megoldás pontosságának rendjét.

A negyedik fejezetben rátérünk az ismételt Richardson-extrapoláció stabilitására rögzített rácson. Ez azért fontos, mert egy numerikus módszertől elvárjuk különféle kvalitatív tulajdonságok megőrzését, például a nemnegativitás-megőrzést, amely elvárható a kémiai modellekben, illetve a tömegmegőrzést, energiamegőrzést, amelyek különféle fizikai rendszerek modelljeiben kell, hogy teljesüljenek. Az említett kvalitatív tulajdonságok közül egy, a merev rendszerek megoldása során fontos stabilitási tulajdonsággal, a rögzített rácson való stabilitással foglalkozunk.

2. A Richardson-extrapoláció módszere

Ebben a fejezetben a Lewis Fry Richardsontól származó konvergenciagyorsító módszert, a Richardson-extrapolációt (röviden RE) mutatjuk be, amelyet elsősorban a közönséges differenciálegyenletek (röviden KDE-k) numerikus megoldása során alkalmazunk [1]. A Richardson-extrapolációnak kétféle változatát különböztetjük meg, a passzív Richardson-extrapolációt és az aktív Richardson-extrapolációt.

Az eljárás lényege az, hogy két különböző lépésközű, de ugyanazon p -ed rendben konvergens módszerrel kapott numerikus megoldásokat kombinálunk. Így egy p -ed rendben konvergens numerikus módszernek a rendje $p + 1$ -re növelhető.

2.1. A Richardson-extrapoláció elve

Tekintsünk egy olyan számítási algoritmust, amely valamely h paramétertől függ, ekkor ha $h \rightarrow 0$, akkor a számítási algoritmusunk tart az A^* pontos értékhez. Ha ez a módszer p -ed rendben konvergens, akkor $h > 0$ paraméterrel dolgozva az

$$A^* - A(h) = K \cdot h^p + \mathcal{O}(h^{p+1}) \quad (2.1.1)$$

egyenlőség érvényes lesz. Itt a K mennyiség független h -tól. Alkalmazzuk ezen számítási algoritmust $h_1 = h > 0$ és $h_2 = h/q$ paraméterekkel is ($q \in \mathbb{N}$). Ekkor az

$$A^* - A(h_1) = K \cdot h_1^p + \mathcal{O}(h_1^{p+1}) \quad (2.1.2)$$

és

$$A^* - A(h_2) = K \cdot h_2^p + \mathcal{O}(h_2^{p+1}) \quad (2.1.3)$$

egyenlőségek is fennállnak. Keressük a c_1 és c_2 együtthatókat úgy, hogy az

$$A_{RE} = c_1 A(h_1) + c_2 A(h_2) \quad (2.1.4)$$

lineáris kombináció magasabb rendben közelítse A^* -t, mint az alapul vett számítási algoritmus. A (2.1.2) és (2.1.3) egyenlőségekből az

$$A_{RE} = (c_1 + c_2)A^* + (c_1 h_1^p + c_2 h_2^p)K + \mathcal{O}(h^{p+1}) \quad (2.1.5)$$

egyenlőséget kapjuk. Megállapítható, hogy a p -ed rendnél magasabb rendű konvergencia feltétele, hogy a

$$c_1 + c_2 = 1 \quad (2.1.6)$$

és

$$c_1 h_1^p + c_2 h_2^p = 0 \quad (2.1.7)$$

egyenlőségek fennálljanak. A (2.1.6) és (2.1.7) egyenletek által alkotott egyenletrendszerből, K kiküszöbölésével a

$$c_1 = -\frac{h_2^p}{h_1^p - h_2^p}, \quad c_2 = 1 - c_1 \quad (2.1.8)$$

együtthatókhöz jutunk. Ekkor ezekkel a c_1 és c_2 együtthatókkal lineárisan kombinálva az $A(h_1)$ és $A(h_2)$ numerikus megoldásokat, az alapmódszernél egy renddel pontosabb közelítést kapunk. Ezt a módszert hívjuk Richardson-extrapolációnak.

A fejezet további részében azzal a speciális esettel foglalkozunk, amikor $h_1 = h$ és $h_2 = \frac{h}{2}$. Ekkor

$$c_1 = -\frac{1}{2^p - 1} \quad \text{és} \quad c_2 = \frac{2^p}{2^p - 1}, \quad (2.1.9)$$

amelyeket a (2.1.4)-be behelyettesítve a Richardson-extrapoláció módszere a

$$A_{RE} = -\frac{1}{2^p - 1} A(h) + \frac{2^p}{2^p - 1} A\left(\frac{h}{2}\right) = \frac{2^p A\left(\frac{h}{2}\right) - A(h)}{2^p - 1} \quad (2.1.10)$$

kifejezést adja,

Elsőrendű módszer ($p = 1$) esetén a $c_1 = -1$, $c_2 = 2$ súlyokat, másodrendű módszer ($p = 2$) esetén a $c_1 = -\frac{1}{3}$, $c_2 = \frac{4}{3}$ súlyokat, harmadrendű módszer ($p = 3$) esetén a $c_1 = -\frac{1}{7}$, $c_2 = \frac{8}{7}$ súlyokat kell használnunk.

2.2. Alkalmazás közönséges differenciálegyenlet-rendszerre

Legyen, az előző fejezetben szereplő $A(h)$ egy időfüggő közönséges differenciálegyenlethez vagy differenciálegyenlet-rendszerhez tartozó Cauchy-feladat h időlépcsővel nyert numerikus megoldása.

Tekintsük az

$$\begin{cases} y'(t) = f(t, y), & t \in [0, T] \\ y(0) = y_0 \end{cases} \quad (2.2.1)$$

kezdetiérték-feladatot, ahol $f : \mathbb{R}^{M+1} \rightarrow \mathbb{R}^M$, $y_0 \in \mathbb{R}^M$ adott kezdeti vektor, és y egy $\mathbb{R} \rightarrow \mathbb{R}^M$ típusú ismeretlen függvény. Definiáljuk a $[0, T]$ intervallumon az

$$\Omega_h := \{t_n = nh : n = 0, 1, \dots, N_t\} \quad (2.2.2)$$

és

$$\Omega_{\frac{h}{2}} := \{t_k = k\frac{h}{2} : k = 0, 1, \dots, 2N_t\}, \quad (2.2.3)$$

rácshálókat, ahol $N_t = \frac{T}{h}$. Azért van szükségünk két rácshálóra, mert ezen a két rácshálón fogjuk alkalmazni a Richardson-extrapolációt.

Legyen a (2.2.1) feladat $y(t)$ pontos megoldása $(p+1)$ -szer folytonosan differenciálható, és tegyük fel, hogy ennek a feladatnak már kiszámítottuk a numerikus megoldását az Ω_h rács egy t_n időpillanatára, egy olyan numerikus módszerrel h és $\frac{h}{2}$ lépésközzel dolgozva, amely p -ed rendű és konvergens. Ekkor Ω_h rácshálón n lépést, $\Omega_{\frac{h}{2}}$ rácshálón pedig $k = 2n$ lépést tettünk meg. Jelölje az Ω_h -n kapott numerikus megoldást $z(t_n)$, az $\Omega_{\frac{h}{2}}$ -n kapott megoldást pedig $w(t_n)$. Ekkor érvényesek lesznek az

$$y(t_n) - z(t_n) = K \cdot h^p + \mathcal{O}(h^{p+1}) \quad (2.2.4)$$

és

$$y(t_n) - w(t_n) = K \cdot \left(\frac{h}{2}\right)^p + \mathcal{O}(h^{p+1}) \quad (2.2.5)$$

összefüggések. A K együttható függ a feladattól, illetve a megoldási módszertől is, de nem függ a h lépésköztől.

Az előző alfejezethez hasonlóan keressük azt az

$$y_{RE}(t_n) = c_1 z(t_n) + c_2 w(t_n) \quad (2.2.6)$$

lineáris kombinációt, amely magasabb rendben közelíti $y(t_n)$ -t, mint az alapmódszer. A (2.2.4) és (2.2.5) egyenlőségekből az

$$y_{RE}(t_n) = (c_1 + c_2)y(t_n) + (c_1 h^p + c_2 \left(\frac{h}{2}\right)^p)K + \mathcal{O}(h^{p+1}) \quad (2.2.7)$$

egyenlőseget kapjuk.

Az előző alfejezethez hasonlóan K kiküszöbölésével, az

$$y_{RE}(t_n) = \frac{2^p w(t_n) - z(t_n)}{2^p - 1} \quad (2.2.8)$$

approximációt érjük el, amely $(p+1)$ -ed rendben közelíti a pontos megoldást.

Ez elsőrendű módszer esetén az

$$y_{RE}(t_n) = 2w(t_n) - z(t_n), \quad (2.2.9)$$

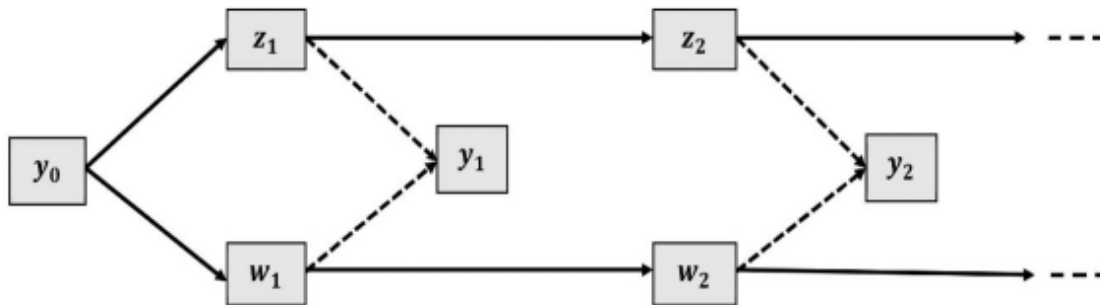
másodrendű módszer esetén pedig az

$$y_{RE}(t_n) = \frac{4}{3}w(t_n) - \frac{1}{3}z(t_n). \quad (2.2.10)$$

formulát szolgáltatja.

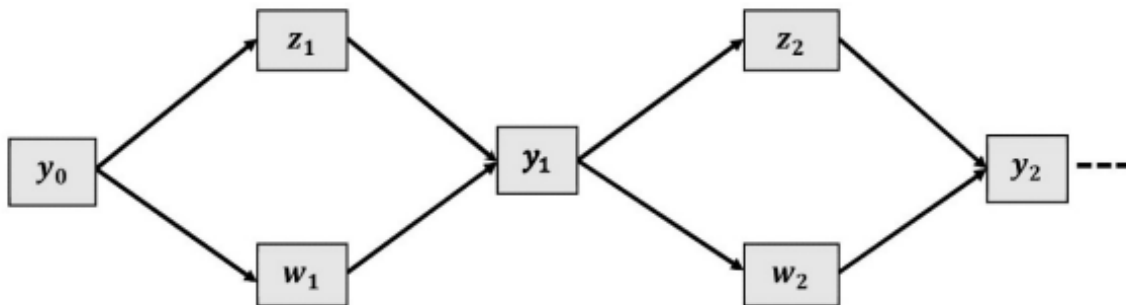
Amikor a Richardson-extrapolációt ezen módon alkalmazzuk, mindegyik időlépésnél a kiszá-

molt kombinált megoldást nem használjuk fel a továbblépéshez, így a pontosabb numerikus megoldás azután is meghatározható, miután a feladatot megoldottuk, mindkét rácson. Ezt passzív Richardson-extrapolációnak nevezzük, és a következő ábra szemlélteti:



1. ábra. A passzív Richardson-extrapoláció

Egy másik úton történő számolás az, amikor a durva rács minden időpillanatában kombináljuk mindkét rácson kapott megoldást, és ebből a kombinált megoldásból lépünk tovább. Ezt aktív Richardson-extrapolációnak nevezzük, és a következő ábra szemlélteti:



2. ábra. Az aktív Richardson-extrapoláció

3. Az ismételt Richardson-extrapoláció

Felmerül a kérdés, hogy lehet-e a Richardson-extrapoláció segítségével még magasabb rendű konvergenciát elérni. Erre egy lehetséges módszer az ismételt Richardson-extrapoláció (röviden IRE, az angol irodalomban Repeated Richardson Extrapolation, röviden RRE) [3] [4] [5] [6].

3.1. IRE módszer h , $\frac{h}{2}$ és $\frac{h}{4}$ lépésközzel

Tekintsük a (2.2.1) kezdetiérték-feladatot, ahol $f : \mathbb{R}^{M+1} \rightarrow \mathbb{R}^M$, $y_0 \in \mathbb{R}^M$ adott kezdeti vektor, és y egy $\mathbb{R} \rightarrow \mathbb{R}^M$ típusú ismeretlen függvény. Módosítsuk a Richardson-extrapoláció módszerét úgy, hogy nem két, hanem három különböző rácshálón nyert numerikus megoldásokat kombinálunk. Definiáljunk a $[0, T]$ intervallumon az

$$\Omega_h := \{t_n = nh : n = 0, 1, \dots, N_t\}, \quad (3.1.1)$$

$$\Omega_{\frac{h}{2}} := \{t_k = k\frac{h}{2} : k = 0, 1, \dots, 2N_t\} \quad (3.1.2)$$

és

$$\Omega_{\frac{h}{4}} := \{t_j = j\frac{h}{4} : j = 0, 1, \dots, 4N_t\}, \quad (3.1.3)$$

rácshálókat, ahol $N_t = \frac{T}{h}$.

Legyen a (2.2.1) feladat $y(t)$ pontos megoldása $(p+1)$ -szer folytonosan differenciálható, és tegyük fel, hogy ennek a feladatnak már kiszámítottuk a numerikus megoldását az Ω_h rác egy t_n időpillanatára, egy olyan numerikus módszerrel h , $\frac{h}{2}$ és $\frac{h}{4}$ lépésközzel dolgozva, amely p -ed rendű és konvergens. Ekkor Ω_h rácshálón n lépést, $\Omega_{\frac{h}{2}}$ rácshálón $k = 2n$ lépést, $\Omega_{\frac{h}{4}}$ rácshálón pedig $j = 4n$ lépést tettünk meg.

Jelölje az Ω_h -n kapott numerikus megoldást $z(t_n)$, az $\Omega_{\frac{h}{2}}$ -n kapott megoldást $w(t_n)$, $\Omega_{\frac{h}{4}}$ -n kapott numerikus megoldást pedig $v(t_n)$. Ekkor érvényesek lesznek az

$$y(t_n) - z(t_n) = K_1 \cdot h^p + K_2 \cdot h^{p+1} + \mathcal{O}(h^{p+2}), \quad (3.1.4)$$

$$y(t_n) - w(t_n) = K_1 \cdot \left(\frac{h}{2}\right)^p + K_2 \cdot \left(\frac{h}{2}\right)^{p+1} + \mathcal{O}(h^{p+2}) \quad (3.1.5)$$

és

$$y(t_n) - v(t_n) = K_1 \cdot \left(\frac{h}{4}\right)^p + K_2 \cdot \left(\frac{h}{4}\right)^{p+1} + \mathcal{O}(h^{p+2}) \quad (3.1.6)$$

összefüggések. A K_1 és K_2 együttható függ a feladattól, illetve a megoldási módszertől is, de nem függ a h lépésköztől. Keressük azt az

$$y_{IRE}(t_n) = c_1 z(t_n) + c_2 w(t_n) + c_3 v(t_n) \quad (3.1.7)$$

lineáris kombinációt, amely kettővel magasabb rendben közelíti $y(t_n)$ -t, mint az alapmódszer. A (3.1.4), (3.1.5) és (3.1.6) egyenlőségekből az

$$y_{IRE}(t_n) = (c_1 + c_2 + c_3)y(t_n) + (c_1h^p + c_2(\frac{h}{2})^p + c_3(\frac{h}{4})^p)K_1 + (c_1h^{p+1} + c_2(\frac{h}{2})^{p+1} + c_3(\frac{h}{4})^{p+1})K_2 + \mathcal{O}(h^{p+2}) \quad (3.1.8)$$

egyenlőséget kapjuk.

K_1 és K_2 kiküszöbölésével az

$$y_{IRE}(t_n) = \frac{2^{2p+1}v(t_n) - 3 \cdot 2^p w(t_n) + z(t_n)}{2^{2p+1} - 3 \cdot 2^p + 1} \quad (3.1.9)$$

approximációt érjük el, amely $(p + 2)$ -ed rendben közelíti a pontos megoldást.

Ez elsőrendű módszer esetén az

$$y_{IRE}(t_n) = \frac{8}{3}v(t_n) - 2w(t_n) + \frac{1}{3}z(t_n) \quad (3.1.10)$$

másodrendű módszer esetén pedig az

$$y_{IRE}(t_n) = \frac{32}{21}v(t_n) - \frac{4}{7}w(t_n) + \frac{1}{21}z(t_n) \quad (3.1.11)$$

formulát szolgáltatja [2].

3.2. IRE módszer h , $\frac{h}{2}$ és $\frac{h}{3}$ lépésközzel

A [2] munkában bemutatásra kerül egy olyan, az irodalomban másutt nem vizsgált változata a Richardson-extrapolációnak, amelynek az imént bemutatott módszernél kisebb a számítási költsége: a harmadik rácsháló lépésköze ugyanis $\frac{h}{4}$ helyett $\frac{h}{3}$. Ennél a módszernél tehát a $[0, T]$ intervallumon az

$$\Omega_h := \{t_n = nh : n = 0, 1, \dots, N_t\}, \quad (3.2.1)$$

$$\Omega_{\frac{h}{2}} := \{t_k = k\frac{h}{2} : k = 0, 1, \dots, 2N_t\} \quad (3.2.2)$$

és

$$\Omega_{\frac{h}{3}} := \{t_j = j\frac{h}{3} : j = 0, 1, \dots, 3N_t\}, \quad (3.2.3)$$

rácshálókat definiáljuk, ahol $N_t = \frac{T}{h}$.

Ekkor Ω_h rácshálón n lépést, $\Omega_{\frac{h}{2}}$ rácshálón $k = 2n$ lépést, $\Omega_{\frac{h}{3}}$ rácshálón pedig $j = 3n$ lépést tettünk meg.

Jelölje az Ω_h -n kapott numerikus megoldást $z(t_n)$, az $\Omega_{\frac{h}{2}}$ -n kapott megoldást $w(t_n)$, $\Omega_{\frac{h}{3}}$ -n ka-

pott numerikus megoldást pedig $v(t_n)$. Ekkor érvényesek lesznek az

$$y(t_n) - z(t_n) = K_1 \cdot h^p + K_2 \cdot h^{p+1} + \mathcal{O}(h^{p+2}), \quad (3.2.4)$$

$$y(t_n) - w(t_n) = K_1 \cdot \left(\frac{h}{2}\right)^p + K_2 \cdot \left(\frac{h}{2}\right)^{p+1} + \mathcal{O}(h^{p+2}) \quad (3.2.5)$$

és

$$y(t_n) - v(t_n) = K_1 \cdot \left(\frac{h}{3}\right)^p + K_2 \cdot \left(\frac{h}{3}\right)^{p+1} + \mathcal{O}(h^{p+2}) \quad (3.2.6)$$

összefüggések. A K_1 és K_2 konstans ismét független a h lépésköztől, de a feladattól, és a megoldási módszertől nem. Keressük azt az

$$y_{IRE}(t_n) = c_1 z(t_n) + c_2 w(t_n) + c_3 v(t_n) \quad (3.2.7)$$

lineáris kombinációt, amely kettővel magasabb rendben közelíti $y(t_n)$ -t, mint az alpmódszer. A (3.1.4), (3.1.5) és (3.1.6) egyenlőségekből az

$$y_{IRE}(t_n) = (c_1 + c_2 + c_3)y(t_n) + (c_1 h^p + c_2 \left(\frac{h}{2}\right)^p + c_3 \left(\frac{h}{3}\right)^p)K_1 + (c_1 h^{p+1} + c_2 \left(\frac{h}{2}\right)^{p+1} + c_3 \left(\frac{h}{3}\right)^{p+1})K_2 + \mathcal{O}(h^{p+2}) \quad (3.2.8)$$

egyenlőséget kapjuk.

Ezúttal K_1 és K_2 kiküszöbölésével, az

$$y_{IRE}(t_n) = \frac{3^{p+1}v(t_n) - 2^{p+2}w(t_n) + z(t_n)}{3^{p+1} - 2^{p+2} + 1} \quad (3.2.9)$$

approximációt érjük el, amely szintén $(p+2)$ -ed rendben közelíti a pontos megoldást.

Ez elsőrendű módszer esetén az

$$y_{IRE}(t_n) = \frac{9}{2}v(t_n) - 4w(t_n) + \frac{1}{2}z(t_n) \quad (3.2.10)$$

másodrendű módszer esetén pedig az

$$y_{IRE}(t_n) = \frac{9}{4}v(t_n) - \frac{4}{3}w(t_n) + \frac{1}{12}z(t_n) \quad (3.2.11)$$

formulát szolgáltatja[2].

3.3. IRE módszer h , $\frac{h}{2}$, $\frac{h}{3}$ és $\frac{h}{4}$ lépésközzel

Természetes módon kínálkozik az ötlet, hogy a rendet tovább növeljük háromnál több rácsháló alkalmazásával. A rácshálók lépésközét ismét többféle módon választhatjuk meg. A legegyszerűbb lehetséges megoldás az, amikor ezek a lépésközök h , $\frac{h}{2}$, $\frac{h}{3}$ és $\frac{h}{4}$, azaz definiáljuk a $[0, T]$

intervallumon az

$$\Omega_h := \{t_n = nh : n = 0, 1, \dots, N_t\}, \quad (3.3.1)$$

$$\Omega_{\frac{h}{2}} := \{t_k = k\frac{h}{2} : k = 0, 1, \dots, 2N_t\}, \quad (3.3.2)$$

$$\Omega_{\frac{h}{3}} := \{t_j = j\frac{h}{3} : j = 0, 1, \dots, 3N_t\}, \quad (3.3.3)$$

és

$$\Omega_{\frac{h}{4}} := \{t_i = i\frac{h}{4} : i = 0, 1, \dots, 4N_t\}, \quad (3.3.4)$$

rácshálókat, ahol $N_t = \frac{T}{h}$.

Ekkor Ω_h rácshálón n lépést, $\Omega_{\frac{h}{2}}$ rácshálón $k = 2n$ lépést, $\Omega_{\frac{h}{3}}$ rácshálón $j = 3n$ lépést, $\Omega_{\frac{h}{4}}$ rácshálón pedig $i = 4n$ lépést tettünk meg.

Jelölje az Ω_h -n kapott numerikus megoldást $z(t_n)$, az $\Omega_{\frac{h}{2}}$ -n kapott numerikus megoldást $w(t_n)$, $\Omega_{\frac{h}{3}}$ -n kapott numerikus megoldást $v(t_n)$, $\Omega_{\frac{h}{4}}$ -n kapott numerikus megoldást pedig $u(t_n)$. Ekkor érvényesek lesznek az

$$y(t_n) - z(t_n) = K_1 \cdot h^p + K_2 \cdot h^{p+1} + K_3 \cdot h^{p+2} + \mathcal{O}(h^{p+3}), \quad (3.3.5)$$

$$y(t_n) - w(t_n) = K_1 \cdot \left(\frac{h}{2}\right)^p + K_2 \cdot \left(\frac{h}{2}\right)^{p+1} + K_3 \cdot \left(\frac{h}{2}\right)^{p+2} + \mathcal{O}(h^{p+3}), \quad (3.3.6)$$

$$y(t_n) - v(t_n) = K_1 \cdot \left(\frac{h}{3}\right)^p + K_2 \cdot \left(\frac{h}{3}\right)^{p+1} + K_3 \cdot \left(\frac{h}{3}\right)^{p+2} + \mathcal{O}(h^{p+3}) \quad (3.3.7)$$

és

$$y(t_n) - u(t_n) = K_1 \cdot \left(\frac{h}{4}\right)^p + K_2 \cdot \left(\frac{h}{4}\right)^{p+1} + K_3 \cdot \left(\frac{h}{4}\right)^{p+2} + \mathcal{O}(h^{p+3}) \quad (3.3.8)$$

összefüggések. A K_1 , K_2 és K_3 függ a feladattól, illetve a megoldási módszertől is, de nem függ a h lépésköztől. Keressük azt az

$$y_{IRE}(t_n) = c_1 z(t_n) + c_2 w(t_n) + c_3 v(t_n) + c_4 u(t_n) \quad (3.3.9)$$

lineáris kombinációt, amely magasabb rendben közelíti $y(t_n)$ -t. A (3.3.5), (3.3.6), (3.3.7) és (3.3.8) egyenlőségekből az

$$\begin{aligned} y_{IRE}(t_n) &= (c_1 + c_2 + c_3 + c_4)y(t_n) + (c_1 h^p + c_2 \left(\frac{h}{2}\right)^p + c_3 \left(\frac{h}{3}\right)^p + c_4 \left(\frac{h}{4}\right)^p)K_1 + \\ &\quad + (c_1 h^{p+1} + c_2 \left(\frac{h}{2}\right)^{p+1} + c_3 \left(\frac{h}{3}\right)^{p+1} + c_4 \left(\frac{h}{4}\right)^{p+1})K_2 + \\ &\quad + (c_1 h^{p+2} + c_2 \left(\frac{h}{2}\right)^{p+2} + c_3 \left(\frac{h}{3}\right)^{p+2} + c_4 \left(\frac{h}{4}\right)^{p+2})K_3 + \mathcal{O}(h^{p+3}) \end{aligned} \quad (3.3.10)$$

egyenlőséget kapjuk.

K_1 , K_2 és K_3 kiküszöbölésével, az

$$y_{IRE}(t_n) = \frac{16 \cdot 4^p u(t_n) - 27 \cdot 3^p v(t_n) + 12 \cdot 2^p w(t_n) - z(t_n)}{12 \cdot 2^p - 27 \cdot 3^p + 16 \cdot 4^p - 1} \quad (3.3.11)$$

approximációt érjük el, amely $(p + 3)$ -ad rendben közelíti a pontos megoldást.

Ez elsőrendű módszer esetén az

$$y_{IRE}(t_n) = \frac{32}{3}u(t_n) - \frac{27}{2}v(t_n) + 4w(t_n) - \frac{1}{6}z(t_n) \quad (3.3.12)$$

másodrendű módszer esetén pedig az

$$y_{IRE}(t_n) = \frac{64}{15}u(t_n) - \frac{81}{20}v(t_n) + \frac{4}{5}w(t_n) - \frac{1}{60}z(t_n) \quad (3.3.13)$$

formulát szolgáltatja [2].

4. Stabilitás rögzített rácson

Ebben a fejezetben a rögzített rácson való stabilitással fogunk foglalkozni, illetve az egyes ismételt Richardson-extrapolációval kombinált konkrét módszereknek a stabilitási függvényét ábrázoljuk Matlab kód segítségével [1].

4.1. Stabilitási fogalmak

A következő stabilitási fogalmak egy egylépéses módszer viselkedését az úgynevezett Dahlquist-féle skaláris tesztfeladaton jellemzik [7]:

$$\begin{aligned}y'(t) &= \lambda y(t), \quad t \geq 0 \\y(0) &= y_0,\end{aligned}\tag{4.1.1}$$

ahol $\lambda \in \mathbb{C}$ rögzített szám. Ennek a tesztfeladatnak a pontos megoldása az $y(t) = y_0 e^{\lambda t}$ függvény. Ez a függvény $\operatorname{Re} \lambda \leq 0$ esetén a $[0, \infty)$ intervallumon korlátos, illetve ha $\operatorname{Re} \lambda < 0$, akkor $t \rightarrow \infty$ esetén 0-hoz tart. Elvárjuk azt, hogy a numerikus megoldás szintén rendelkezzen ezekkel a tulajdonságokkal egy rögzített lépésközü rácson.

Legyen $\mu := h\lambda$. Ekkor egy egylépéses numerikus módszer a (4.1.1) feladatra való alkalmazása esetén az n -edik időrétegről az $(n + 1)$ -edikre való továbblépés operátora kifejezhető μ -vel az

$$y_{n+1} = R(\mu)y_n, \quad n = 0, 1, \dots,\tag{4.1.2}$$

egyenlőséggel, amelyből az

$$y_{n+1} = R(\mu)^{n+1}y_0\tag{4.1.3}$$

egyenlőséget kapjuk. Ezt az $R(\mu)$ függvényt az adott numerikus módszer stabilitási függvényének nevezzük. Tekintsük az explicit Euler-módszert (röviden EE), amelynek a képlete

$$y_{n+1} = y_n + hf(t_{n+1}, y_n), \quad n = 0, 1, \dots\tag{4.1.4}$$

Ezt a (4.1.1) feladatra alkalmazva az

$$y_{n+1} = (1 + h\lambda)y_n, \quad n = 0, 1, \dots,\tag{4.1.5}$$

összefüggésre jutunk, amelyből megkapjuk, hogy az explicit Euler-módszer stabilitási függvénye $R(\mu) = (1 + h\lambda)$. Tekintsük az implicit Euler-módszert (röviden IE), amelynek a képlete

$$y_{n+1} = y_n + hf(t_{n+1}, y_{n+1}), \quad n = 0, 1, \dots,\tag{4.1.6}$$

Ezt a (4.1.4) feladatra alkalmazva az

$$y_{n+1} = \frac{1}{1 - h\lambda} y_n, \quad n = 0, 1, \dots, \quad (4.1.7)$$

összefüggésre jutunk, amelyből megkapjuk, hogy az implicit Euler-módszer stabilitási függvénye $R(\mu) = \frac{1}{1 - h\lambda}$. Tekintsük az középponti módszert (röviden KP), amelynek a képlete

$$y_{n+1} = y_n + hf\left(\frac{1}{2}f(t_n, y_n), \frac{1}{2}f(t_{n+1}, y_{n+1})\right), \quad n = 0, 1, \dots, \quad (4.1.8)$$

Ezt a (4.1.1) feladatra alkalmazva az

$$y_{n+1} = \frac{1 + \frac{h}{2}\lambda}{1 - \frac{h}{2}\lambda} y_n, \quad n = 0, 1, \dots, \quad (4.1.9)$$

összefüggésre jutunk, amelyből megkapjuk, hogy a középponti módszer stabilitási függvénye $R(\mu) = \frac{1 + \frac{h}{2}\lambda}{1 - \frac{h}{2}\lambda}$.

Nyilvánvalóan egy egylépéses módszer alkalmazása esetén a közelítő megoldás pontosan akkor lesz korlátos a $[0, \infty[$ intervallum rácspontjaiban, ha a módszer stabilitási függvényére $|R(\mu)| \leq 1$. A módszer stabilitási tartományán azon $\mu \in \mathbb{C}$ pontok halmazát értjük, amelyekre $|R(\mu)| \leq 1$ [1].

1. Definíció. [1] Egy egylépéses numerikus módszert A-stabilnak nevezünk, ha stabilitási tartománya magában foglalja az egész bal félsíkot (a képzetes tengellyel együtt), vagyis a módszer $R(\mu)$ stabilitási függvényére

$$|R(\mu)| \leq 1 \quad \forall \mu \in \mathbb{C}^-. \quad (4.1.10)$$

2. Definíció. [1] Egy egylépéses numerikus módszert erősen A-stabilnak nevezünk, ha A-stabil, és

$$\lim_{|\mu| \rightarrow \infty} |R(\mu)| \leq 1. \quad (4.1.11)$$

3. Definíció. [1] Egy egylépéses numerikus módszert erősen L-stabilnak nevezünk, ha A-stabil, és

$$\lim_{|\mu| \rightarrow \infty} |R(\mu)| = 0. \quad (4.1.12)$$

4.2. Az ismételt Richardson-extrapolációval kapott módszerek stabilitása

Tekintsük az egyik legelterjedtebb egylépéses numerikus módszert, a θ -módszert, amelynek képlete

$$y_{n+1} = y_n + h[(1 - \theta)f(t_n, y_n) + \theta f(t_{n+1}, y_{n+1})], \quad n = 0, 1, \dots, \quad (4.2.1)$$

ahol $\theta \in [0, 1]$ súlyparaméter. Speciálisan $\theta = 0$ esetén az explicit Euler-módszert, $\theta = 1$ esetén az implicit Euler-módszert, $\theta = \frac{1}{2}$ esetén pedig a középponti módszert adja. $\theta = \frac{1}{2}$ esetén má-

sodrendű ($p = 2$), más esetben elsőrendű ($p = 1$) módszert kapunk. Alkalmazzuk az ismételt Richardson-extrapolációt! Tegyük fel hogy az n -edik időrétegre már meghatároztuk a numerikus megoldást, ezt jelölje y_n , és legyen $t_{n+k} := t_n + \frac{1}{k}h$ ahol $k \in \mathbb{N}^+$, a rácsháló lépésszáma. A stabilitási függvény alakja függ attól, hogy az ismételt Richardson-extrapoláció alkalmazása során milyen rácshálókat használunk. Tekintsük a (3.1.1), (3.1.2), (3.1.3) rácshálókat. Ekkor a numerikus megoldást a következő lépésekben határozzuk meg:

1. lépés: teszünk egy időlépést a (3.1.1) rácson:

$$z_{n+1} = y_n + h[(1 - \theta)f(t_n, y_n) + \theta f(t_{n+1}, z_{n+1})] \quad (4.2.2)$$

2. lépés: teszünk két fél időlépést a (3.1.2) rácson:

$$\begin{aligned} w_{n+\frac{1}{2}} &= y_n + \frac{1}{2}h[(1 - \theta)f(t_n, y_n) + \theta f(t_{n+\frac{1}{2}}, w_{n+\frac{1}{2}})] \\ w_{n+1} &= w_{n+\frac{1}{2}} + \frac{1}{2}h[(1 - \theta)f(t_{n+\frac{1}{2}}, y_{n+\frac{1}{2}}) + \theta f(t_{n+1}, w_{n+1})] \end{aligned} \quad (4.2.3)$$

3. lépés: teszünk négy negyed időlépést a (3.1.3) rácson:

$$\begin{aligned} v_{n+\frac{1}{4}} &= y_n + \frac{1}{4}h[(1 - \theta)f(t_n, y_n) + \theta f(t_{n+\frac{1}{4}}, v_{n+\frac{1}{4}})] \\ v_{n+\frac{2}{4}} &= v_{n+\frac{1}{4}} + \frac{1}{4}h[(1 - \theta)f(t_{n+\frac{1}{4}}, y_{n+\frac{1}{4}}) + \theta f(t_{n+\frac{2}{4}}, v_{n+\frac{2}{4}})] \\ v_{n+\frac{3}{4}} &= v_{n+\frac{2}{4}} + \frac{1}{4}h[(1 - \theta)f(t_{n+\frac{2}{4}}, y_{n+\frac{2}{4}}) + \theta f(t_{n+\frac{3}{4}}, v_{n+\frac{3}{4}})] \\ v_{n+1} &= v_{n+\frac{3}{4}} + \frac{1}{4}h[(1 - \theta)f(t_{n+\frac{3}{4}}, y_{n+\frac{3}{4}}) + \theta f(t_{n+1}, v_{n+1})] \end{aligned} \quad (4.2.4)$$

4. lépés: kiszámítjuk a kombinált megoldást, $\theta \neq \frac{1}{2}$ esetén az

$$y_n = \frac{8}{3}v_n - 2w_n + \frac{1}{3}z_n \quad (4.2.5)$$

illetve $\theta = \frac{1}{2}$ pedig az

$$y_n = \frac{32}{21}v_n - \frac{4}{7}w_n + \frac{1}{21}z_n \quad (4.2.6)$$

képlet szerint.

Általánosan ha k darab $\frac{1}{k}$ -ad hosszúságú lépést teszünk meg egy olyan $[0, T]$ intervallumon definiált

$$\Omega_{\frac{h}{k}} := \{t_j = j\frac{h}{k} : j = 0, 1, \dots, kN_t\} \quad (4.2.7)$$

rácson, ahol $N_t = \frac{T}{h}$, akkor azt a következőképpen kell megtennünk. Legyen g_n az $\Omega_{\frac{h}{k}}$ rácshálón kapott numerikus megoldás az n -edik időrétegen.

k . lépés: teszünk k darab $\frac{1}{k}$ -ad időlépést a (4.2.7) rácson:

$$\begin{aligned}
g_{n+\frac{1}{k}} &= y_n + \frac{1}{k}h[(1-\theta)f(t_n, y_n) + \theta f(t_{n+\frac{1}{k}}, g_{n+\frac{1}{k}})] \\
g_{n+\frac{2}{k}} &= g_{n+\frac{1}{k}} + \frac{1}{k}h[(1-\theta)f(t_{n+\frac{1}{k}}, y_{n+\frac{1}{k}}) + \theta f(t_{n+\frac{2}{k}}, g_{n+\frac{2}{k}})] \\
&\vdots \\
g_{n+\frac{k-1}{k}} &= g_{n+\frac{k-2}{k}} + \frac{1}{k}h[(1-\theta)f(t_{n+\frac{k-2}{k}}, y_{n+\frac{k-2}{k}}) + \theta f(t_{n+\frac{k-1}{k}}, g_{n+\frac{k-1}{k}})] \\
g_{n+1} &= g_{n+\frac{k-1}{k}} + \frac{1}{k}h[(1-\theta)f(t_{n+\frac{k-1}{k}}, y_{n+\frac{k-1}{k}}) + \theta f(t_{n+1}, g_{n+1})]
\end{aligned} \tag{4.2.8}$$

A rögzített rácson való stabilitás vizsgálatához meghatározzuk az ismételt Richardson-extrapolációval kombinált θ -módszer stabilitási függvényét. Ha a módszert a (4.1.1) Dahlquist-féle tesztfeladatra alkalmazzuk, akkor a

$$z_{n+1} = \frac{1 + (1-\theta)\mu}{1 - \theta\mu} y_n \tag{4.2.9}$$

$$w_{n+1} = \left(\frac{1 + (1-\theta)\frac{\mu}{2}}{1 - \theta\frac{\mu}{2}} \right)^2 y_n \tag{4.2.10}$$

és

$$v_{n+1} = \left(\frac{1 + (1-\theta)\frac{\mu}{4}}{1 - \theta\frac{\mu}{4}} \right)^4 y_n \tag{4.2.11}$$

numerikus megoldásokat kapjuk a három különböző rácson. Ezekből könnyen levezethető, hogy a keresett stabilitási függvény $\theta \neq \frac{1}{2}$ esetén

$$R(\mu) = \left[\frac{1}{3} \left(\frac{1 + (1-\theta)\mu}{1 - \theta\mu} \right) - 2 \left(\frac{1 + (1-\theta)\frac{\mu}{2}}{1 - \theta\frac{\mu}{2}} \right)^2 + \frac{8}{3} \left(\frac{1 + (1-\theta)\frac{\mu}{4}}{1 - \theta\frac{\mu}{4}} \right)^4 \right], \tag{4.2.12}$$

és $\theta = \frac{1}{2}$ esetén

$$R(\mu) = \left[\frac{1}{21} \left(\frac{1 + \frac{\mu}{2}}{1 - \frac{\mu}{2}} \right) - \frac{4}{7} \left(\frac{1 + \frac{\mu}{4}}{1 - \frac{\mu}{4}} \right)^2 + \frac{32}{21} \left(\frac{1 + \frac{\mu}{8}}{1 - \frac{\mu}{8}} \right)^4 \right]. \tag{4.2.13}$$

Általánosan a

$$g_{n+1} = \left(\frac{1 + (1-\theta)\frac{\mu}{k}}{1 - \theta\frac{\mu}{k}} \right)^k y_n \tag{4.2.14}$$

egyenlőséget kapjuk, amelyből könnyen megállapítható, hogy ha $\frac{h}{k}$ -s hosszúságú lépésközzel dolgozunk, akkor ennek a lépésközü numerikus megoldásnak a stabilitási függvénye

$$R(\mu) = \left(\frac{1 + (1 - \theta)\frac{\mu}{k}}{1 - \theta\frac{\mu}{k}} \right)^k, \quad (4.2.15)$$

természetesen ezt kombinálni kell a korábban kiszámolt együtthatókkal.

4.3. Az IRE(124) módszerrel kombinált stabilitási tartományok

A θ -módszerrel kombinált IRE(124) elsőrendű módszer ($p = 1$) a következő egyenlőséget adja:

$$y_{n+1} = \left[\frac{1}{3} \left(\frac{1 + (1 - \theta)\mu}{1 - \theta\mu} \right) - 2 \left(\frac{1 + (1 - \theta)\frac{\mu}{2}}{1 - \theta\frac{\mu}{2}} \right)^2 + \frac{8}{3} \left(\frac{1 + (1 - \theta)\frac{\mu}{4}}{1 - \theta\frac{\mu}{4}} \right)^4 \right] y_n. \quad (4.3.1)$$

Könnyen megállapítható, hogy ennek a módszernek a stabilitási függvénye az

$$R(\mu) = \frac{1}{3} \left(\frac{1 + (1 - \theta)\mu}{1 - \theta\mu} \right) - 2 \left(\frac{1 + (1 - \theta)\frac{\mu}{2}}{1 - \theta\frac{\mu}{2}} \right)^2 + \frac{8}{3} \left(\frac{1 + (1 - \theta)\frac{\mu}{4}}{1 - \theta\frac{\mu}{4}} \right)^4 \quad (4.3.2)$$

függvény.

4.3.1. Az EE+IRE(124) módszer stabilitási tartománya

$\theta = 0$ esetén az explicit Euler-módszerrel kombinált IRE(124) elsőrendű módszer ($p = 1$) a következő egyenlőséget adja:

$$y_{n+1} = \left[\frac{1}{3} (1 + \mu) - 2 \left(1 + \frac{\mu}{2} \right)^2 + \frac{8}{3} \left(1 + \frac{\mu}{4} \right)^4 \right] y_n. \quad (4.3.3)$$

Könnyen megállapítható, hogy ennek a módszernek a stabilitási függvénye az

$$R(\mu) = \frac{1}{3} (1 + \mu) - 2 \left(1 + \frac{\mu}{2} \right)^2 + \frac{8}{3} \left(1 + \frac{\mu}{4} \right)^4 \quad (4.3.4)$$

függvény. A módszer stabilitási függvényét a következő Matlab kóddal ábrázoltuk:

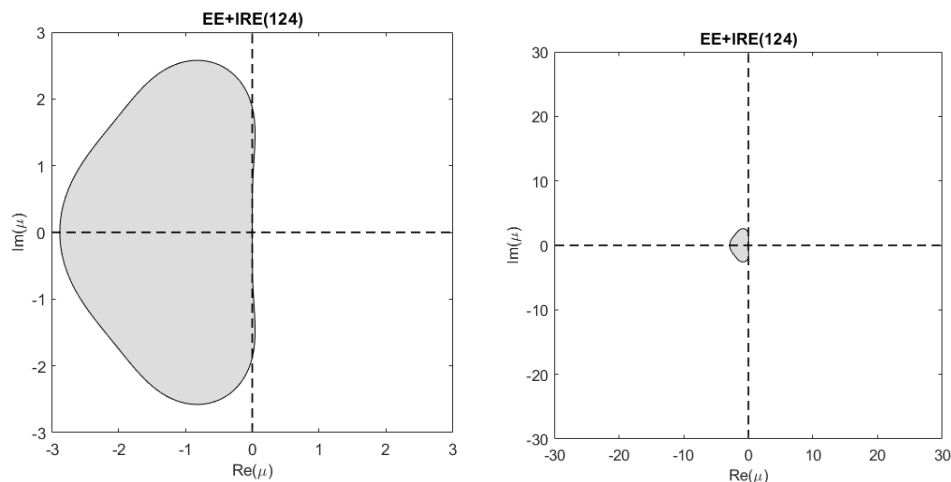
```
1 %Az explicit Euler-modszer+IRE(124) stabilitasi tartomanyanak
  abrazolasa
2 close all
3 clear all
```

```

4
5 %Az abrazolashoz szukseges tengelyek
6 x = -30:0.05:50;
7 y = -30:0.05:30;
8 [X,Y] = meshgrid(x,y);
9
10 %A stabilitasi fuggveny felirasa
11 mu = X+i*Y;
12 Z_EE_124 = -abs(1/3.*(1+mu)-2.*(1+(mu./2)).^2+8/3.*(1+(mu./4))
    .^4);
13
14 %A stabilitasi regio abrazolasa
15 v = [-1,-1];
16 contourf(X,Y,Z_EE_124,v);
17
18 %A stabilitasi regio szurkere szinezese
19 clr = [221 221 221]/255;
20 colormap(clr)
21
22 %Az abrazolas parameterei
23 LW = 'LineWidth'; lw = 1;
24 hold on
25 plot([min(x) max(x)], [0 0], 'k--', LW, lw) %Szaggatott vonal az x
26 plot([0 0], [min(y) max(y)], 'k--', LW, lw) %es y tengelyek menten
27 axis equal
28 %Ketfele tengelymeret az atlathatosag kedveert
29 axis([-3 3 -3 3])
30 %axis([-30 30 -30 30])
31 title('EE+IRE(124)')
32 xlabel('Re(\mu)', 'FontName', 'AvantGarde', 'FontSize' , 10)
33 ylabel('Im(\mu)', 'FontName', 'AvantGarde', 'FontSize' , 10)
34 set(gcf, 'color', 'white')

```

Kimeneti eredmény:



3. ábra. Az EE+IRE(124) módszer stabilitási tartománya két különböző tengelyméretválasztással

4.3.2. Az IE+IRE(124) módszer stabilitási tartománya

$\theta = 1$ esetén az implicit Euler-módszerrel kombinált IRE(124) elsőrendű módszer ($p = 1$) a következő egyenlőséget adja:

$$y_{n+1} = \left[\frac{1}{3} \left(\frac{1}{1-\mu} \right) - 2 \left(\frac{1}{1-\frac{\mu}{2}} \right)^2 + \frac{8}{3} \left(\frac{1}{1-\frac{\mu}{4}} \right)^4 \right] y_n \quad (4.3.5)$$

Könnyen megállapítható, hogy ennek a módszernek a stabilitási függvénye az

$$R(\mu) = \frac{1}{3} \left(\frac{1}{1-\mu} \right) - 2 \left(\frac{1}{1-\frac{\mu}{2}} \right)^2 + \frac{8}{3} \left(\frac{1}{1-\frac{\mu}{4}} \right)^4 \quad (4.3.6)$$

függvény. A módszer stabilitási függvényét a következő Matlab kóddal ábrázoltuk:

```

1 %Az implicit Euler-modszer+IRE(124) stabilitasi tartomanyanak
  abrazolasa
2 close all
3 clear all
4
5 %Az abrazolashoz szukseges tengelyek
6 x = -30:0.05:50;
7 y = -30:0.05:30;
8 [X,Y] = meshgrid(x,y);

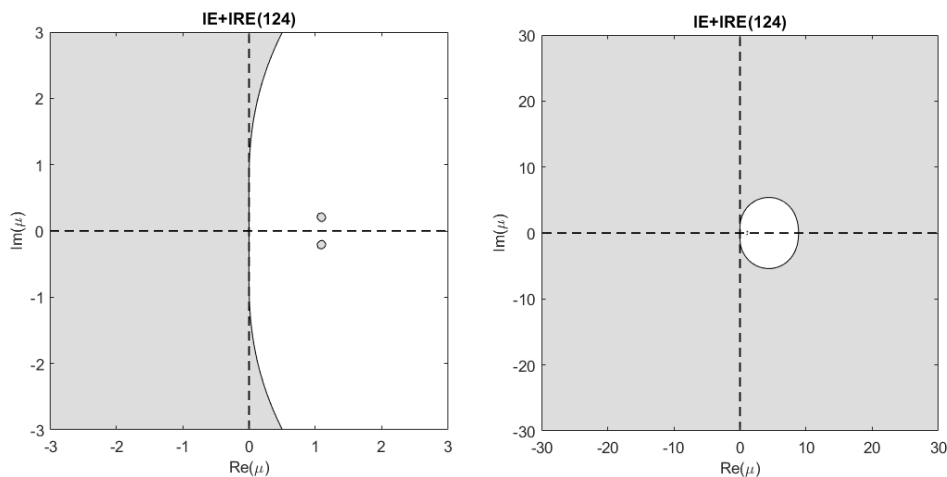
```

```

9
10 %A stabilitasi fuggveny felirasa
11 mu = X+i*Y;
12 Z_IE_124 = -abs(1/3.*(1./(1-mu))-2.*(1./(1-mu./2))
    .^2+8/3.*(1./(1-mu./4)).^4);
13
14 %A stabilitasi regio abrazolasa
15 v = [-1,-1];
16 contourf(X,Y,Z_IE_124,v);
17
18 %A stabilitasi regio szurkere szinezese
19 clr = [221 221 221]/255;
20 colormap(clr)
21
22 %Az abrazolas parameterei
23 LW = 'LineWidth'; lw = 1;
24 hold on
25 plot([min(x) max(x)], [0 0], 'k--', LW, lw) %Szaggatott vonal az x
26 plot([0 0], [min(y) max(y)], 'k--', LW, lw) %es y tengelyek menten
27 axis equal
28 %Ketfele tengelymeret az atlathatosag kedveert
29 axis([-3 3 -3 3])
30 %axis([-30 30 -30 30])
31 title('IE+IRE(124)')
32 xlabel('Re(\mu)', 'FontName', 'AvantGarde', 'FontSize' , 10)
33 ylabel('Im(\mu)', 'FontName', 'AvantGarde', 'FontSize' , 10)
34 set(gcf, 'color', 'white')

```

Kimeneti eredmény:



4. ábra. Az IE+IRE(124) módszer stabilitási tartománya két különböző tengelyméretválasztással

4.3.3. Az KP+IRE(124) módszer stabilitási tartománya

$\theta = \frac{1}{2}$ esetén a középponti módszerrel kombinált IRE(124) másodrendű módszer ($p = 2$) a következő egyenlőséget adja:

$$y_{n+1} = \left[\frac{1}{21} \left(\frac{1 + \frac{\mu}{2}}{1 - \frac{\mu}{2}} \right) - \frac{4}{7} \left(\frac{1 + \frac{\mu}{4}}{1 - \frac{\mu}{4}} \right)^2 + \frac{32}{21} \left(\frac{1 + \frac{\mu}{8}}{1 - \frac{\mu}{8}} \right)^4 \right] y_n \quad (4.3.7)$$

Könnyen megállapítható, hogy ennek a módszernek a stabilitási függvénye az

$$R(\mu) = \frac{1}{21} \left(\frac{1 + \frac{\mu}{2}}{1 - \frac{\mu}{2}} \right) - \frac{4}{7} \left(\frac{1 + \frac{\mu}{4}}{1 - \frac{\mu}{4}} \right)^2 + \frac{32}{21} \left(\frac{1 + \frac{\mu}{8}}{1 - \frac{\mu}{8}} \right)^4 \quad (4.3.8)$$

függvény. A módszer stabilitási függvényét a következő Matlab kóddal ábrázoltuk:

```

1  %Az kozeponti modszer+IRE(124) stabilitasi tartomanyanak
    abrazolasa
2  close all
3  clear all
4
5  %Az abrazolashoz szukseges tengelyek
6  x = -30:0.05:50;
7  y = -30:0.05:30;
8  [X,Y] = meshgrid(x,y);

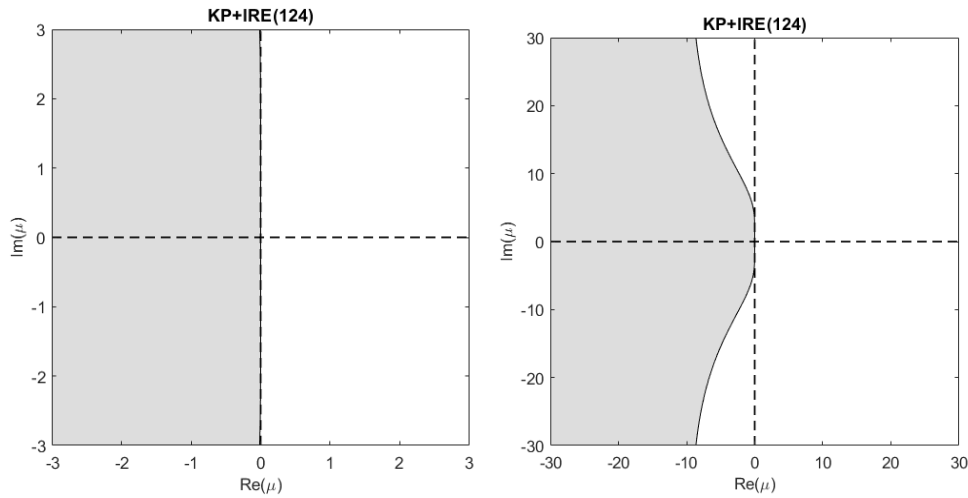
```

```

9
10 %A stabilitasi fuggveny felirasa
11 mu = X+i*Y;
12 Z_KP_124 = -abs(1/21.*((1+mu./2)./(1-mu./2))-4/7.*((1+mu./4)
    ./ (1-mu./4)).^2+32/21.*((1+mu./8)./(1-mu./8)).^4);
13
14 %A stabilitasi regio abrazolasa
15 v = [-1,-1];
16 contourf(X,Y,Z_KP_124,v);
17
18 %A stabilitasi regio szurkere szinezese
19 clr = [221 221 221]/255;
20 colormap(clr)
21
22 %Az abrazolas parameterei
23 LW = 'LineWidth'; lw = 1;
24 hold on
25 plot([min(x) max(x)], [0 0], 'k--', LW, lw) %Szaggatott vonal az x
26 plot([0 0], [min(y) max(y)], 'k--', LW, lw) %es y tengelyek menten
27 axis equal
28 %Ketfele tengelymeret az atlathatosag kedveert
29 axis([-3 3 -3 3])
30 %axis([-30 30 -30 30])
31 title('KP+IRE(124)')
32 xlabel('Re(\mu)', 'FontName', 'AvantGarde', 'FontSize' , 10)
33 ylabel('Im(\mu)', 'FontName', 'AvantGarde', 'FontSize' , 10)
34 set(gcf, 'color', 'white')

```


Kimeneti eredmény:



5. ábra. A KP+IRE(124) módszer stabilitási tartománya két különböző tengelyméretválasztással

4.4. Az IRE(123) módszerrel kombinált stabilitási tartományok

A θ -módszerrel kombinált IRE(123) elsőrendű módszer ($p = 1$) a következő egyenlőséget adja:

$$y_{n+1} = \left[\frac{1}{2} \left(\frac{1 + (1 - \theta)\mu}{1 - \theta\mu} \right) - 4 \left(\frac{1 + (1 - \theta)\frac{\mu}{2}}{1 - \theta\frac{\mu}{2}} \right)^2 + \frac{9}{2} \left(\frac{1 + (1 - \theta)\frac{\mu}{3}}{1 - \theta\frac{\mu}{3}} \right)^3 \right] y_n \quad (4.4.1)$$

Könnyen megállapítható, hogy ennek a módszernek a stabilitási függvénye az

$$R(\mu) = \frac{1}{2} \left(\frac{1 + (1 - \theta)\mu}{1 - \theta\mu} \right) - 4 \left(\frac{1 + (1 - \theta)\frac{\mu}{2}}{1 - \theta\frac{\mu}{2}} \right)^2 + \frac{9}{2} \left(\frac{1 + (1 - \theta)\frac{\mu}{3}}{1 - \theta\frac{\mu}{3}} \right)^3 \quad (4.4.2)$$

függvény.

4.4.1. Az EE+IRE(123) módszer stabilitási tartománya

$\theta = 0$ esetén az explicit Euler-módszerrel kombinált IRE(123) elsőrendű módszer ($p = 1$) a következő egyenlőséget adja:

$$y_{n+1} = \left[\frac{1}{2} (1 + \mu) - 4 \left(1 + \frac{\mu}{2} \right)^2 + \frac{9}{2} \left(1 + \frac{\mu}{3} \right)^3 \right] y_n \quad (4.4.3)$$

Könnyen megállapítható, hogy ennek a módszernek a stabilitási függvénye az

$$R(\mu) = \frac{1}{2}(1 + \mu) - 4 \left(1 + \frac{\mu}{2}\right)^2 + \frac{9}{2} \left(1 + \frac{\mu}{3}\right)^3 \quad (4.4.4)$$

függvény. A módszer stabilitási függvényét a következő Matlab kóddal ábráztuk:

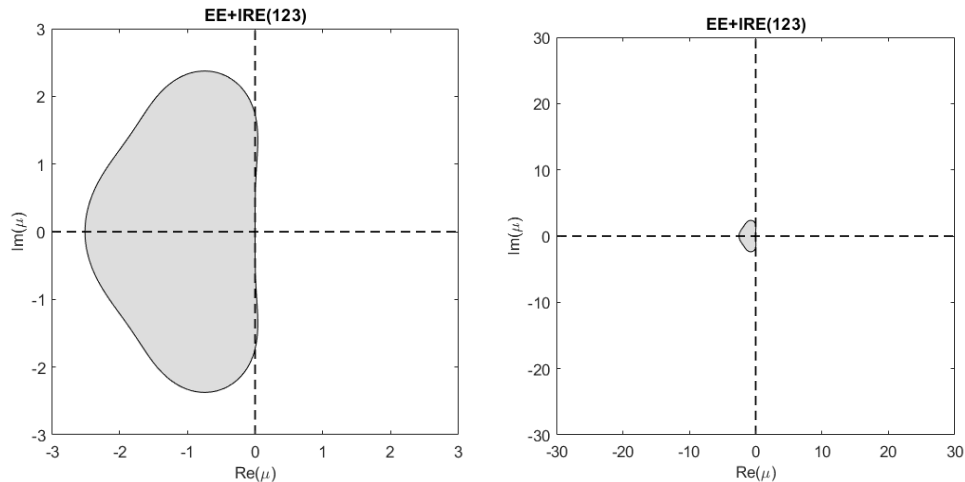
```
1  %Az explicit Euler-modszer+IRE(123) stabilitasi tartomanyanak
   abrazolasa
2  close all
3  clear all
4
5  %Az abrazolashoz szukseges tengelyek
6  x = -30:0.05:50;
7  y = -30:0.05:30;
8  [X,Y] = meshgrid(x,y);
9
10 %A stabilitasi fuggveny felirasa
11 mu = X+i*Y;
12 Z_EE_123 = -abs(1/2.*(1+mu)-4.*(1+(mu./2)).^2+9/2.*(1+(mu./3)).
   .^3);
13
14 %A stabilitasi regio abrazolasa
15 v = [-1,-1];
16 contourf(X,Y,Z_EE_123,v);
17
18 %A stabilitasi regio szurkere szinezese
19 clr = [221 221 221]/255;
20 colormap(clr)
21
22 %Az abrazolas parameterai
23 LW = 'LineWidth'; lw = 1;
24 hold on
25 plot([min(x) max(x)], [0 0], 'k--', LW, lw) %Szaggatott vonal az x
26 plot([0 0], [min(y) max(y)], 'k--', LW, lw) %es y tengelyek menten
27 axis equal
28 %Ketfele tengelymeret az atlathatosag kedveert
29 axis([-3 3 -3 3])
30 %axis([-30 30 -30 30])
31 title('EE+IRE(123)')
32 xlabel('Re(\mu)', 'FontName', 'AvantGarde', 'FontSize', 10)
```

```

33 ylabel('Im(\mu)', 'FontName', 'AvantGarde', 'FontSize', 10)
34 set(gcf, 'color', 'white')

```

Kimeneti eredmény:



6. ábra. Az EE+IRE(123) módszer stabilitási tartománya két különböző tengelyméretválasztással

4.4.2. Az IE+IRE(123) módszer stabilitási tartománya

$\theta = 1$ esetén az implicit Euler-módszerrel kombinált IRE(123) elsőrendű módszer ($p = 1$) a következő egyenlőséget adja:

$$y_{n+1} = \left[\frac{1}{2} \left(\frac{1}{1-\mu} \right) - 4 \left(\frac{1-\frac{\mu}{2}}{1-\frac{\mu}{2}} \right)^2 + \frac{9}{2} \left(\frac{1-\frac{\mu}{3}}{1-\frac{\mu}{3}} \right)^3 \right] y_n \quad (4.4.5)$$

Könnyen megállapítható, hogy ennek a módszernek a stabilitási függvénye az

$$R(\mu) = \frac{1}{2} \left(\frac{1}{1-\mu} \right) - 4 \left(\frac{1-\frac{\mu}{2}}{1-\frac{\mu}{2}} \right)^2 + \frac{9}{2} \left(\frac{1-\frac{\mu}{3}}{1-\frac{\mu}{3}} \right)^3 \quad (4.4.6)$$

függvény. A módszer stabilitási függvényét a következő Matlab kóddal ábráztuk:

```

1 %Az implicit Euler-modszer+IRE(123) stabilitasi tartomanyanak
  abrazolasa
2 close all
3 clear all
4
5 %Az abrazolashoz szukseges tengelyek

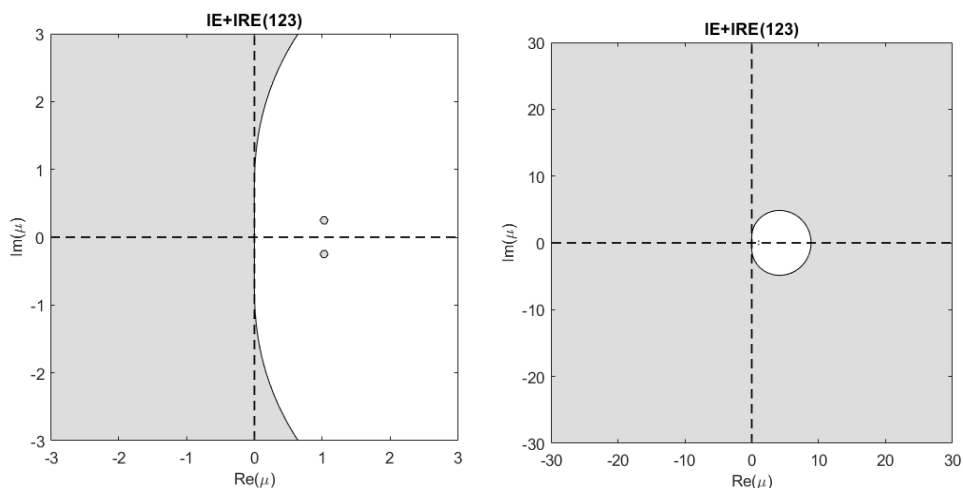
```

```

6 x = -30:0.05:50;
7 y = -30:0.05:30;
8 [X,Y] = meshgrid(x,y);
9
10 %A stabilitasi fuggveny felirasa
11 mu = X+i*Y;
12 Z_IE_123 = -abs(1/2.*(1./(1-mu))-4.*(1./(1-mu./2))
    .^2+9/2.*(1./(1-mu./3)).^3);
13
14 %A stabilitasi regio abrazolasa
15 v = [-1,-1];
16 contourf(X,Y,Z_IE_123,v);
17
18 %A stabilitasi regio szurkere szinezese
19 clr = [221 221 221]/255;
20 colormap(clr)
21
22 %Az abrazolas parameterei
23 LW = 'LineWidth'; lw = 1;
24 hold on
25 plot([min(x) max(x)], [0 0], 'k--', LW, lw) %Szaggatott vonal az x
26 plot([0 0], [min(y) max(y)], 'k--', LW, lw) %es y tengelyek menten
27 axis equal
28 %Ketfele tengelymeret az atlathatosag kedveert
29 axis([-3 3 -3 3])
30 %axis([-30 30 -30 30])
31 title('IE+IRE(123)')
32 xlabel('Re(\mu)', 'FontName', 'AvantGarde', 'FontSize' , 10)
33 ylabel('Im(\mu)', 'FontName', 'AvantGarde', 'FontSize' , 10)
34 set(gcf, 'color', 'white')

```

Kimeneti eredmény:



7. ábra. Az IE+IRE(123) módszer stabilitási tartománya két különböző tengelyméretválasztással

4.4.3. Az KP+IRE(123) módszer stabilitási tartománya

$\theta = \frac{1}{2}$ esetén a középponti módszerrel kombinált IRE(123) másodrendű módszer ($p = 2$) a következő egyenlőséget adja:

$$y_{n+1} = \left[\frac{1}{12} \left(\frac{1 + \frac{\mu}{2}}{1 - \frac{\mu}{2}} \right) - \frac{4}{3} \left(\frac{1 + \frac{\mu}{4}}{1 - \frac{\mu}{4}} \right)^2 + \frac{9}{4} \left(\frac{1 + \frac{\mu}{6}}{1 - \frac{\mu}{6}} \right)^3 \right] y_n \quad (4.4.7)$$

Könnyen megállapítható, hogy ennek a módszernek a stabilitási függvénye az

$$R(\mu) = \frac{1}{12} \left(\frac{1 + \frac{\mu}{2}}{1 - \frac{\mu}{2}} \right) - \frac{4}{3} \left(\frac{1 + \frac{\mu}{4}}{1 - \frac{\mu}{4}} \right)^2 + \frac{9}{4} \left(\frac{1 + \frac{\mu}{6}}{1 - \frac{\mu}{6}} \right)^3 \quad (4.4.8)$$

függvény. A módszer stabilitási függvényét a következő Matlab kóddal ábráztuk:

```

1  %Az kozeponti modszer+IRE(123) stabilitasi tartomanyanak
    abrazolasa
2  close all
3  clear all
4
5  %Az abrazolashoz szukseges tengelyek
6  x = -30:0.05:50;
7  y = -30:0.05:30;
8  [X,Y] = meshgrid(x,y);

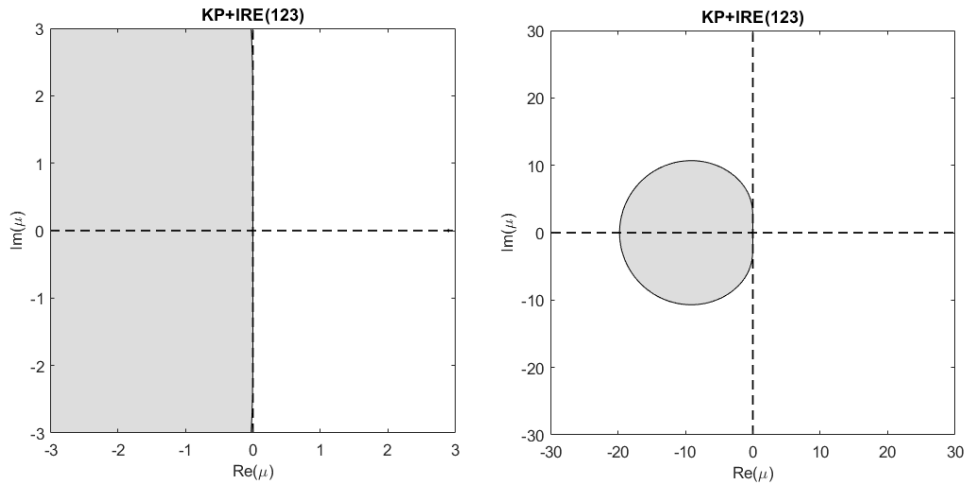
```

```

9
10 %A stabilitasi fuggveny felirasa
11 mu = X+i*Y;
12 Z_KP_123 = -abs(1/12.*((1+mu./2)./(1-mu./2))-4/3.*((1+mu./4)
    ./ (1-mu./4)).^2+9/4.*((1+mu./6)./(1-mu./6)).^3);
13
14 %A stabilitasi regio abrazolasa
15 v = [-1,-1];
16 contourf(X,Y,Z_KP_123,v);
17
18 %A stabilitasi regio szurkere szinezese
19 clr = [221 221 221]/255;
20 colormap(clr)
21
22 %Az abrazolas parameterei
23 LW = 'LineWidth'; lw = 1;
24 hold on
25 plot([min(x) max(x)], [0 0], 'k--', LW, lw) %Szaggatott vonal az x
26 plot([0 0], [min(y) max(y)], 'k--', LW, lw) %es y tengelyek menten
27 axis equal
28 %Ketfele tengelymeret az atlathatosag kedveert
29 axis([-3 3 -3 3])
30 %axis([-30 30 -30 30])
31 title('KP+IRE(123)')
32 xlabel('Re(\mu)', 'FontName', 'AvantGarde', 'FontSize' , 10)
33 ylabel('Im(\mu)', 'FontName', 'AvantGarde', 'FontSize' , 10)
34 set(gcf, 'color', 'white')

```

Kimeneti eredmény:



8. ábra. A KP+IRE(123) módszer stabilitási tartománya két különböző tengelyméretválasztással

4.5. Az IRE(1234) módszerrel kombinált stabilitási tartományok

A θ -módszerrel kombinált IRE(1234) elsőrendű módszer ($p = 1$) a következő egyenlőséget adja:

$$y_{n+1} = \left[-\frac{1}{6} \left(\frac{1 + (1 - \theta)\mu}{1 - \theta\mu} \right) + 4 \left(\frac{1 + (1 - \theta)\frac{\mu}{2}}{1 - \theta\frac{\mu}{2}} \right)^2 - \frac{27}{2} \left(\frac{1 + (1 - \theta)\frac{\mu}{3}}{1 - \theta\frac{\mu}{3}} \right)^3 + \frac{32}{3} \left(\frac{1 + (1 - \theta)\frac{\mu}{4}}{1 - \theta\frac{\mu}{4}} \right)^4 \right] y_n \quad (4.5.1)$$

Könnyen megállapítható, hogy ennek a módszernek a stabilitási függvénye az

$$R(\mu) = \left[-\frac{1}{6} \left(\frac{1 + (1 - \theta)\mu}{1 - \theta\mu} \right) + 4 \left(\frac{1 + (1 - \theta)\frac{\mu}{2}}{1 - \theta\frac{\mu}{2}} \right)^2 - \frac{27}{2} \left(\frac{1 + (1 - \theta)\frac{\mu}{3}}{1 - \theta\frac{\mu}{3}} \right)^3 + \frac{32}{3} \left(\frac{1 + (1 - \theta)\frac{\mu}{4}}{1 - \theta\frac{\mu}{4}} \right)^4 \right] \quad (4.5.2)$$

függvény.

4.5.1. Az EE+IRE(1234) módszer stabilitási tartománya

$\theta = 0$ esetén az explicit Euler-módszerrel kombinált IRE(1234) elsőrendű módszer ($p = 1$) a következő egyenlőséget adja:

$$y_{n+1} = \left[-\frac{1}{6}(1 + \mu) + 4 \left(1 + \frac{\mu}{2}\right)^2 - \frac{27}{2} \left(1 + \frac{\mu}{3}\right)^3 + \frac{32}{3} \left(1 + \frac{\mu}{4}\right)^4 \right] y_n \quad (4.5.3)$$

Könnyen megállapítható, hogy ennek a módszernek a stabilitási függvénye az

$$R(\mu) = -\frac{1}{6}(1 + \mu) + 4 \left(1 + \frac{\mu}{2}\right)^2 - \frac{27}{2} \left(1 + \frac{\mu}{3}\right)^3 + \frac{32}{3} \left(1 + \frac{\mu}{4}\right)^4 \quad (4.5.4)$$

függvény. A módszer stabilitási függvényét a következő Matlab kóddal ábrázoltuk:

```
1 %Az explicit Euler-modszer+IRE(1234) stabilitasi tartomanyanak
  abrazolasa
2 close all
3 clear all
4
5 %Az abrazolashoz szukseges tengelyek
6 x = -30:0.05:50;
7 y = -30:0.05:30;
8 [X,Y] = meshgrid(x,y);
9
10 %A stabilitasi fuggveny felirasa
11 mu = X+i*Y;
12 Z_EE_1234 = -abs(-1/6.*(1+mu)+4.*(1+(mu./2)).^2-27/2.*(1+(mu
  ./3)).^3+32/3.*(1+(mu./4)).^4);
13
14 %A stabilitasi regio abrazolasa
15 v = [-1,-1];
16 contourf(X,Y,Z_EE_1234,v);
17
18 %A stabilitasi regio szurkere szinezese
19 clr = [221 221 221]/255;
20 colormap(clr)
21
22 %Az abrazolas parameterai
23 LW = 'LineWidth'; lw = 1;
24 hold on
25 plot([min(x) max(x)], [0 0], 'k--', LW, lw) %Szaggatott vonal az x
```

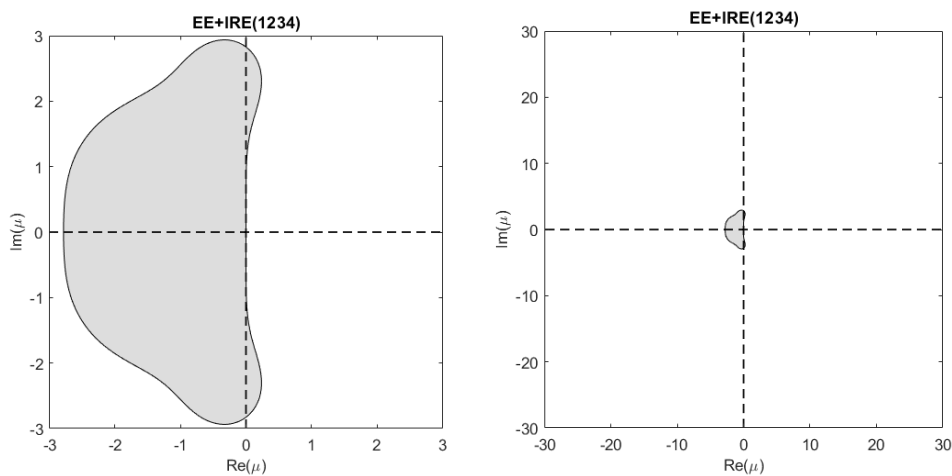


```

26 plot([0 0],[min(y) max(y)],'k--',LW,lw) %es y tengelyek menten
27 axis equal
28 %Kettefele tengelymeret az atlathatosag kedveert
29 axis([-3 3 -3 3])
30 %axis([-30 30 -30 30])
31 title('EE+IRE(1234)')
32 xlabel('Re(\mu)', 'FontName', 'AvantGarde','FontSize' , 10)
33 ylabel('Im(\mu)', 'FontName', 'AvantGarde','FontSize' , 10)
34 set(gcf,'color','white')

```

Kimeneti eredmény:



9. ábra. Az EE+IRE(1234) módszer stabilitási tartománya két különböző tengelyméretválasztással

4.5.2. Az IE+IRE(1234) módszer stabilitási tartománya

$\theta = 1$ esetén az implicit Euler-módszerrel kombinált IRE(1234) elsőrendű módszer ($p = 1$) a következő egyenlőséget adja:

$$y_{n+1} = \left[-\frac{1}{6} \left(\frac{1}{1-\mu} \right) + 4 \left(\frac{1}{1-\frac{\mu}{2}} \right)^2 - \frac{27}{2} \left(\frac{1}{1-\frac{\mu}{3}} \right)^3 + \frac{32}{3} \left(\frac{1}{1-\frac{\mu}{4}} \right)^4 \right] y_n \quad (4.5.5)$$

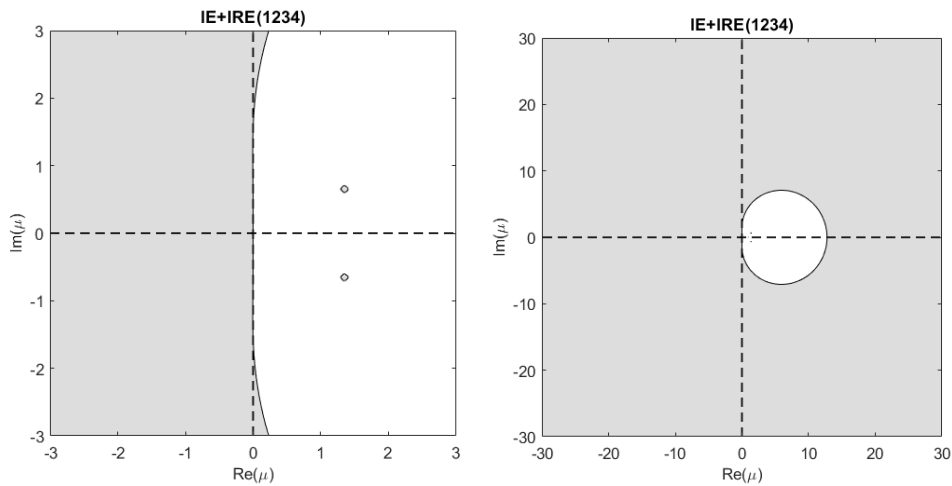
Könnyen megállapítható, hogy ennek a módszernek a stabilitási függvénye az

$$R(\mu) = -\frac{1}{6} \left(\frac{1}{1-\mu} \right) + 4 \left(\frac{1}{1-\frac{\mu}{2}} \right)^2 - \frac{27}{2} \left(\frac{1}{1-\frac{\mu}{3}} \right)^3 + \frac{32}{3} \left(\frac{1}{1-\frac{\mu}{4}} \right)^4 \quad (4.5.6)$$

függvény. A módszer stabilitási függvényét a következő Matlab kóddal ábrázoltuk:

```
1  %Az implicit Euler-modszer+IRE(1234) stabilitasi tartomanyanak
   abrazolasa
2  close all
3  clear all
4
5  %Az abrazolashoz szukseges tengelyek
6  x = -30:0.05:50;
7  y = -30:0.05:30;
8  [X,Y] = meshgrid(x,y);
9
10 %A stabilitasi fuggveny felirasa
11 mu = X+i*Y;
12 Z_IE_1234 = -abs(-1/6.*(1./(1-mu))+4.*(1./(1-mu./2))
   .^2-27/2.*(1./(1-mu./3)).^3+32/3.*(1./(1-mu./4)).^4);
13
14 %A stabilitasi regio abrazolasa
15 v = [-1,-1];
16 contourf(X,Y,Z_IE_1234,v);
17
18 %A stabilitasi regio szurkere szinezese
19 clr = [221 221 221]/255;
20 colormap(clr)
21
22 %Az abrazolas parameterai
23 LW = 'LineWidth'; lw = 1;
24 hold on
25 plot([min(x) max(x)], [0 0], 'k--', LW, lw) %Szaggatott vonal az x
26 plot([0 0], [min(y) max(y)], 'k--', LW, lw) %es y tengelyek menten
27 axis equal
28 %Ketfele tengelymeret az atlathatosag kedveert
29 axis([-3 3 -3 3])
30 %axis([-30 30 -30 30])
31 title('IE+IRE(1234)')
32 xlabel('Re(\mu)', 'FontName', 'AvantGarde', 'FontSize' , 10)
33 ylabel('Im(\mu)', 'FontName', 'AvantGarde', 'FontSize' , 10)
34 set(gcf, 'color', 'white')
```

Kimeneti eredmény:



10. ábra. Az IE+IRE(1234) módszer stabilitási tartománya két különböző tengelyméretválasztással

4.5.3. Az KP+IRE(1234) módszer stabilitási tartománya

$\theta = \frac{1}{2}$ esetén a középponti módszerrel kombinált IRE(1234) másodrendű módszer ($p = 2$) a következő egyenlőséget adja:

$$y_{n+1} = \left[-\frac{1}{60} \left(\frac{1 + \frac{\mu}{2}}{1 - \frac{\mu}{2}} \right) + \frac{4}{5} \left(\frac{1 + \frac{\mu}{4}}{1 - \frac{\mu}{4}} \right)^2 - \frac{81}{20} \left(\frac{1 + \frac{\mu}{6}}{1 - \frac{\mu}{6}} \right)^3 + \frac{64}{15} \left(\frac{1 + \frac{\mu}{8}}{1 - \frac{\mu}{8}} \right)^4 \right] y_n \quad (4.5.7)$$

Könnnyen megállapítható, hogy ennek a módszernek a stabilitási függvénye az

$$R(\mu) = -\frac{1}{60} \left(\frac{1 + \frac{\mu}{2}}{1 - \frac{\mu}{2}} \right) + \frac{4}{5} \left(\frac{1 + \frac{\mu}{4}}{1 - \frac{\mu}{4}} \right)^2 - \frac{81}{20} \left(\frac{1 + \frac{\mu}{6}}{1 - \frac{\mu}{6}} \right)^3 + \frac{64}{15} \left(\frac{1 + \frac{\mu}{8}}{1 - \frac{\mu}{8}} \right)^4 \quad (4.5.8)$$

függvény. A módszer stabilitási függvényét a következő Matlab kóddal ábrázoltuk:

```

1  %Az kozeponti modszer+IRE(1234) stabilitasi tartomanyanak
   abrazolasa
2  close all
3  clear all
4
5  %Az abrazolashoz szukseges tengelyek
6  x = -30:0.05:50;
7  y = -30:0.05:30;
8  [X,Y] = meshgrid(x,y);

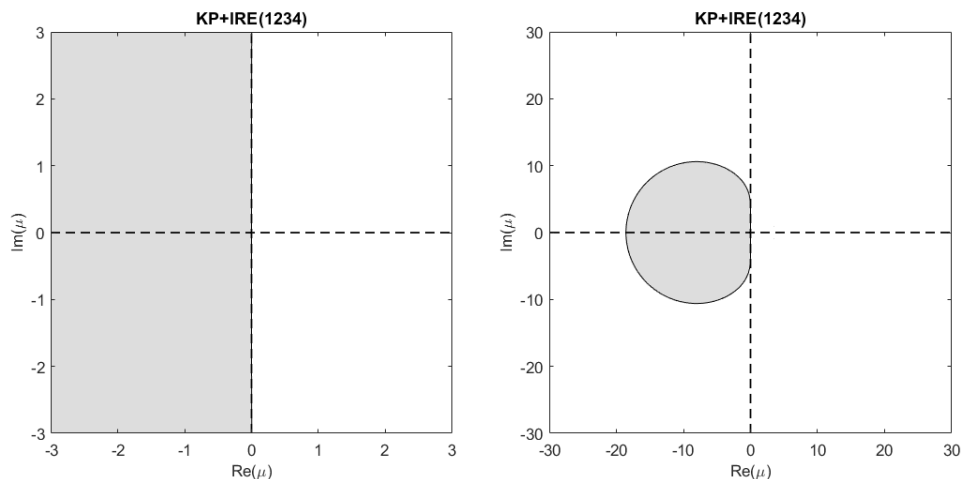
```

```

9
10 %A stabilitasi fuggveny felirasa
11 mu = X+i*Y;
12 Z_KP_1234 = -abs(-1/60.*((1+mu./2)./(1-mu./2))+4/5.*((1+mu./4)
    ./ (1-mu./4)).^2-81/20.*((1+mu./6)./(1-mu./6)).^3 ...
13     +64/15.*((1+mu./8)./(1-mu./8)).^4);
14
15 %A stabilitasi regio abrazolasa
16 v = [-1,-1];
17 contourf(X,Y,Z_KP_1234,v);
18
19 %A stabilitasi regio szurkere szinezese
20 clr = [221 221 221]/255;
21 colormap(clr)
22
23 %Az abrazolas parameterei
24 LW = 'LineWidth'; lw = 1;
25 hold on
26 plot([min(x) max(x)], [0 0], 'k--', LW, lw) %Szaggatott vonal az x
27 plot([0 0], [min(y) max(y)], 'k--', LW, lw) %es y tengelyek menten
28 axis equal
29 %Ketfele tengelymeret az atlathatosag kedveert
30 axis([-3 3 -3 3])
31 %axis([-30 30 -30 30])
32 title('KP+IRE(1234)')
33 xlabel('Re(\mu)', 'FontName', 'AvantGarde', 'FontSize' , 10)
34 ylabel('Im(\mu)', 'FontName', 'AvantGarde', 'FontSize' , 10)
35 set(gcf, 'color', 'white')

```

Kimeneti eredmény:



11. ábra. A KP+IRE(1234) módszer stabilitási tartománya két különböző tengelyméretválasztással

4.6. Numerikus kísérlet KP+IRE(124) és KP+IRE(123) módszerekre

A középponti módszernél az IRE(123) (8) és IRE(124) (5) módszerek stabilitási tartománya gyökeresen más képet mutat, így ezekkel érdemes mélyebben foglalkozni. A KP + IRE(123) módszernek korlátos a stabilitási tartománya, míg a KP + IRE(124) módszer közel A-stabilnak tűnik. Célunk numerikus kísérlettel is alátámasztani ezen eredményünket. Olyan feladatot konstruálunk, amelyet megfelelően megválasztott h lépésközzel megoldva kimutatható a két módszer közötti minőségi eltérés a rögzített rácson való stabilitás szempontjából.

A -30 valós szám a KP + IRE(123) módszernél kívül esik a stabilitási tartományon, míg a KP + IRE(124) módszernél annak belsejében található. Olyan kétismeretlenes lineáris közönséges differenciálegyenlet-rendszert írunk fel, amelynek egyik sajátértéke -300 . Ilyen módon $h = 0,1$ esetén $\mu = -300h = -30$ a KP + IRE(123) módszernél a stabilitási tartományon kívül, míg a KP + IRE(124) módszernél azon belül van. Tekintsük az

$$\begin{aligned} y'(t) &= Ay(t), \quad t \geq 0 \\ y(0) &= (100, 150) \end{aligned} \tag{4.6.1}$$

feladatot, ahol

$$A = \begin{bmatrix} 280 & -2900 \\ 58 & -590 \end{bmatrix} \tag{4.6.2}$$

Ezen A mártix sajátértékei -300 és -10 . A $\theta = \frac{1}{2}$ módszer lineáris feladatára:

$$y^{n+1} = (I - h\theta A)^{-1}(I + h(1 - \theta)A)y^n \tag{4.6.3}$$

A következő Matlab kóddal kiszámoltuk a pontos megoldást, valamint a KP, a KP + IRE(123) és a KP + IRE(124) módszerrel a $h = 0.1$ lépésközzel kapott numerikus megoldásokat a $[0, 1]$ intervallumon.

```

1 clear all
2 close all
3 y0 = [100, 150]';
4 V = [5 20; 1 2];
5 D = [-300 0; 0 -10];
6 A = V*D/V;
7 eigs(A);
8 y = y0;
9 t0 = 0;
10 h = 0.001;
11 t(1)=t0;
12 for i =2:1001
13     t(i) = t0 + (i-1)*h;
14     y = [y expm(A*t(i))*y0];
15 end
16 % A pontos megoldas abrazolasa
17 figure(1)
18 plot(t,y(1,:),t,y(2,:), 'LineWidth',2)
19 grid on
20
21 %Megoldas a KP módszerrel
22 dt = 0.1;
23 y_KP = y0;
24 theta = 0.5;
25 for i = 2:(1/dt + 1);
26     t_KP(i) = t0 + (i-1)*dt;
27     y_KP(:,i) = (eye(2)-dt*theta*A) \ (eye(2)+dt*(1-theta)*A) *
        y_KP(:,i-1);
28 end
29 figure(2)
30 plot(t_KP,y_KP, 'LineWidth',2)
31 grid on
32
33 %Megoldas a KP + IRE(123) módszerrel
34 dt = 0.1;
35 y_KP123 = y0;

```

```

36 theta = 0.5;
37 for i = 2:(1/dt + 1);
38     t_KP123(i) = t0 + (i-1)*dt;
39     z_KP123(:,i) = (eye(2)-dt*theta*A)\(eye(2)+dt*(1-theta)*A)*
        y_KP123(:,i-1);
40
41     w = (eye(2)-dt/2*theta*A)\(eye(2)+dt/2*(1-theta)*A)*y_KP123
        (:,i-1);
42     w_KP123(:,i) = (eye(2)-dt/2*theta*A)\(eye(2)+dt/2*(1-theta)
        *A)*w;
43
44     q = (eye(2)-dt/3*theta*A)\(eye(2)+dt/3*(1-theta)*A)*y_KP123
        (:,i-1);
45     q = (eye(2)-dt/3*theta*A)\(eye(2)+dt/3*(1-theta)*A)*q;
46     q_KP123(:,i) = (eye(2)-dt/3*theta*A)\(eye(2)+dt/3*(1-theta)
        *A)*q;
47
48     y_KP123(:,i) = 1/12* z_KP123(:,i) - 4/3*w_KP123(:,i) + 9/4
        *q_KP123(:,i);
49 end
50 figure(3)
51 plot(t_KP123,y_KP123,'LineWidth',2)
52 grid on
53
54 %Megoldas a KP + IRE(124) módszerrel
55 dt = 0.1;
56 y_KP124 = y0;
57 theta = 0.5;
58 for i = 2:(1/dt + 1);
59     t_KP124(i) = t0 + (i-1)*dt;
60     z_KP124(:,i) = (eye(2)-dt*theta*A)\(eye(2)+dt*(1-theta)*A)*
        y_KP124(:,i-1);
61
62     w = (eye(2)-dt/2*theta*A)\(eye(2)+dt/2*(1-theta)*A)*y_KP124
        (:,i-1);
63     w_KP124(:,i) = (eye(2)-dt/2*theta*A)\(eye(2)+dt/2*(1-theta)
        *A)*w;
64
65     q = (eye(2)-dt/3*theta*A)\(eye(2)+dt/3*(1-theta)*A)*y_KP124

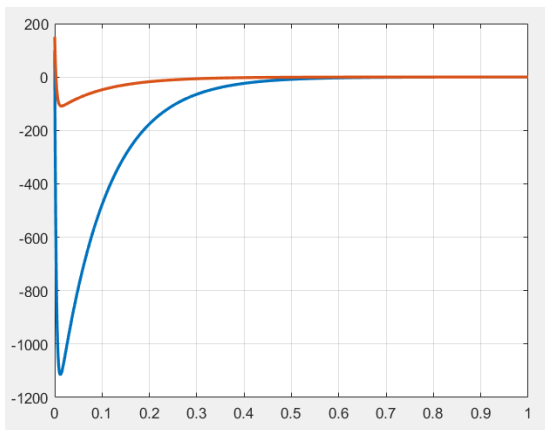
```

```

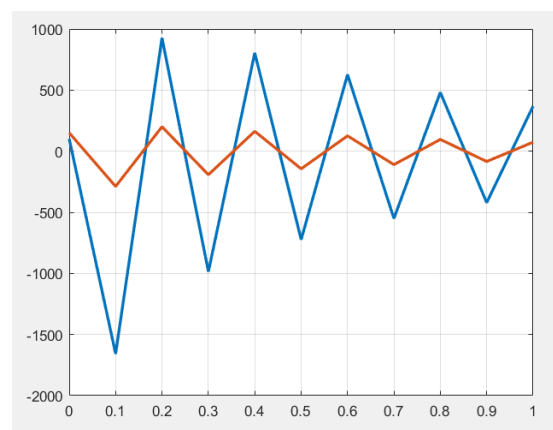
        (:,i-1);
66  q = (eye(2)-dt/3*theta*A) \ (eye(2)+dt/3*(1-theta)*A)*q;
67  q = (eye(2)-dt/3*theta*A) \ (eye(2)+dt/3*(1-theta)*A)*q;
68  q_KP124(:,i) = (eye(2)-dt/3*theta*A) \ (eye(2)+dt/3*(1-theta)
        *A)*q;
69
70  y_KP124(:,i) = 1/21* z_KP124(:,i) - 4/7*w_KP124(:,i) +
        32/21 *q_KP124(:,i);
71  end
72  figure(4)
73  plot(t_KP124,y_KP124,'LineWidth',2)
74  grid on

```

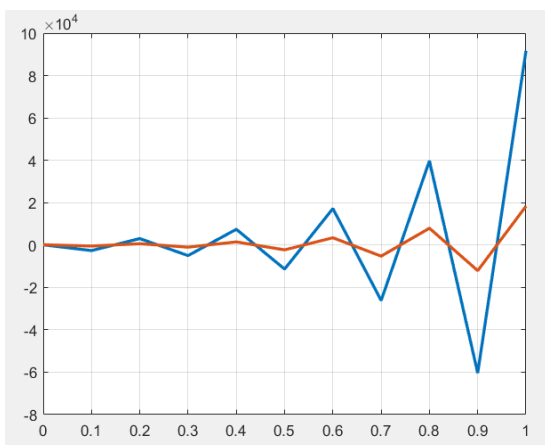
Kimeneti eredmény:



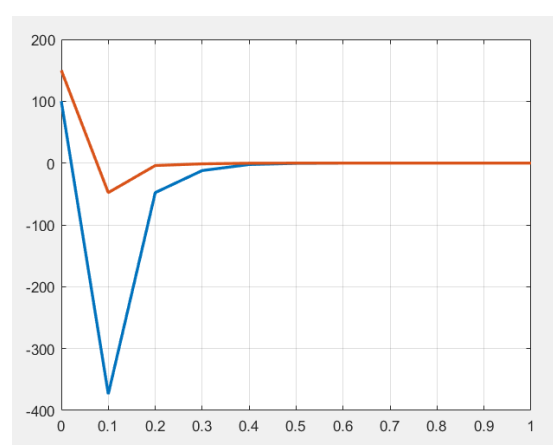
12. ábra. A pontos megoldás



13. ábra. A KP módszer



14. ábra. A KP+IRE(123) módszer



15. ábra. A KP+IRE(124) módszer

Látható, hogy egyedül a KP+IRE(123) módszer alkalmazásakor tapasztaljuk a numerikus megoldás nagymértékű kinövését (10000-es nagyságrendű értékek). A többi esetben a numerikus megoldás korlátos marad, és bár a nagy lépésköz miatt pontatlan, rendelkezik a rögzített rácson való stabilitás kvalitatív tulajdonságával.

5. Összefoglalás

A szakdolgozatban a közönséges differenciálegyenletek, illetve differenciálegyenlet-rendszerek numerikus módszereivel foglalkoztunk. Bemutattuk a Richardson-extrapoláció konvergenciagyorsító módszerét, valamint azt, hogy hogyan kell ezt egy közönséges differenciálegyenlet-rendszerre alkalmazni. Ezek után ismertettük az ismételt Richardson-extrapoláció módszerét, illetve ennek három típusát. Végül megvizsgáltuk ezen a típusok a stabilitási függvényeit az explicit Euler, implicit Euler, illetve a középponti módszerrel kombinálva.

A dolgozatban bemutatottak számtalan bővítési lehetőséget rejtenek magukban. Meg lehetne vizsgálni kisebb lépésközökre az ismételt Richardson-extrapolációt, illetve lehetne egyszerre még több rácshálót kombinálni, hogy ezzel még tovább pontosítsuk a numerikus megoldást. Lehetne vizsgálni a hatékonyságát ezeknek a módszereknek, érdemes-e növelni a lépésközök számát.

Összességében a szakdolgozat készítése közben betekintést nyertem a numerikus matematika világába. Jobban megértettem, hogyan működnek a differenciálegyenletek numerikus módszerei. Fejlődött a tudásom a programozás területén, illetve átfogó képet kaptam a Richardson-extrapoláció módszeréről. Bízom benne, hogy az elsajátított tudást később tanulmányaim, illetve munkám során sikeresen fel tudom majd használni.

Hivatkozások

- [1] Havasi Á. (2018) *A Richardson-extrapoláció elméleti vizsgálata és alkalmazásai*
- [2] Juhász Sz. (2020) *A Richardson-extrapoláció általánosításai*
- [3] Bayleyegn T. (2023) *Theoretical and computational investigation of Richardson extrapolation*
- [4] Zlatev Z., Dimov I., Faragó I., Havasi Á. (2017) *Richardson Extrapolation - Practical Aspects and Applications*
- [5] Zlatev Z., Dimov I., Faragó I., Georgiev K., Havasi Á. (2019) *Explicit Runge-Kutta Methods Combined with Advanced Versions of the Richardson Extrapolation, Computational Methods in Applied Mathematics*
DOI: <https://doi.org/10.1515/cmam-2019-0016>
- [6] Zlatev Z., Dimov I., Faragó I., Georgiev K., Havasi Á. (2017) *Stability of the Richardson Extrapolation combined with some implicit Runge-Kutta methods*
DOI: <https://doi.org/10.1016/j.cam.2016.03.018>
- [7] Dahlquist G. (1963) *A special stability problem for linear multistep methods*
- [8] Lambert J. D. (1991) *Numerical Methods for Ordinary Differential Equations*